

Einführung in die Plasmaphysik

Wolfgang Suttrop

Max-Planck-Institut für Plasmaphysik

D-85740 Garching

Was ist ein Plasma?

griechisch: Plasma = $\pi\lambda\acute{\alpha}\sigma\mu\alpha$ (das Geformte)

Plasma = Ionisiertes Gas

Geladene Teilchen: Elektronen und Ionen

Gas:	kurzreichweitige Stöße	“ideales” Gas
Plasma:	Coulomb-Wechselwirkung	
	lange Reichweite	kollektive Effekte

→ “Vierter Aggregatzustand”



Chaiten-Vulkan, Chile, 2008

Quelle: wordpress.com

Plasmen sind überall

Mehr als 99 % der sichtbaren Materie im Universum ist im Plasmazustand.

Oft gelten dieselben physikalischen Gesetze, jedoch auf anderen Längen- und Zeitskalen.

Weltraum:

Sterne, interplanetarer Raum



Orion-Nebel

Quelle: [space.com](https://www.space.com), Brian Davis

Erde:

Ionosphäre, Magnetosphäre



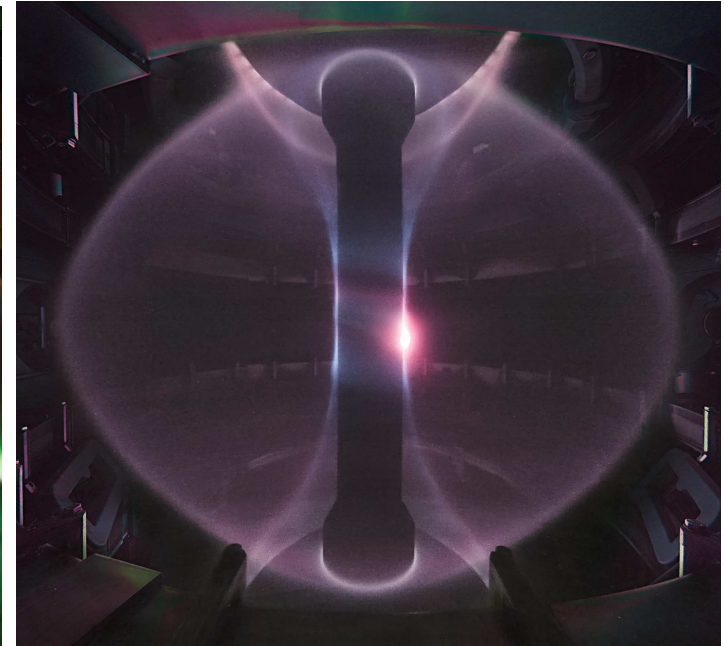
Aurora borealis

von der ISS gesehen

Quelle: NASA

Labor:

Technische Plasmen, Kernfusion



Mega Ampere

Spherical Tokamak

Quelle: CCFE, [fusenet.eu](https://www.fusenet.eu)

Gasentladungslampen

Energiesparlampe

(www.vis.bayern.de)

Neon-Leuchte

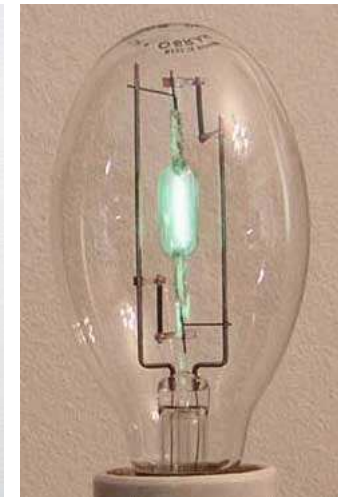
(www.savingsahead.com)

Xenon-Bogenlampe

Osram XBO 75W/2

Hg-Dampf-Lampe

Osram HQA 80W



Glimmlampe (www.alibaba.com)

Plasma-Bildschirm

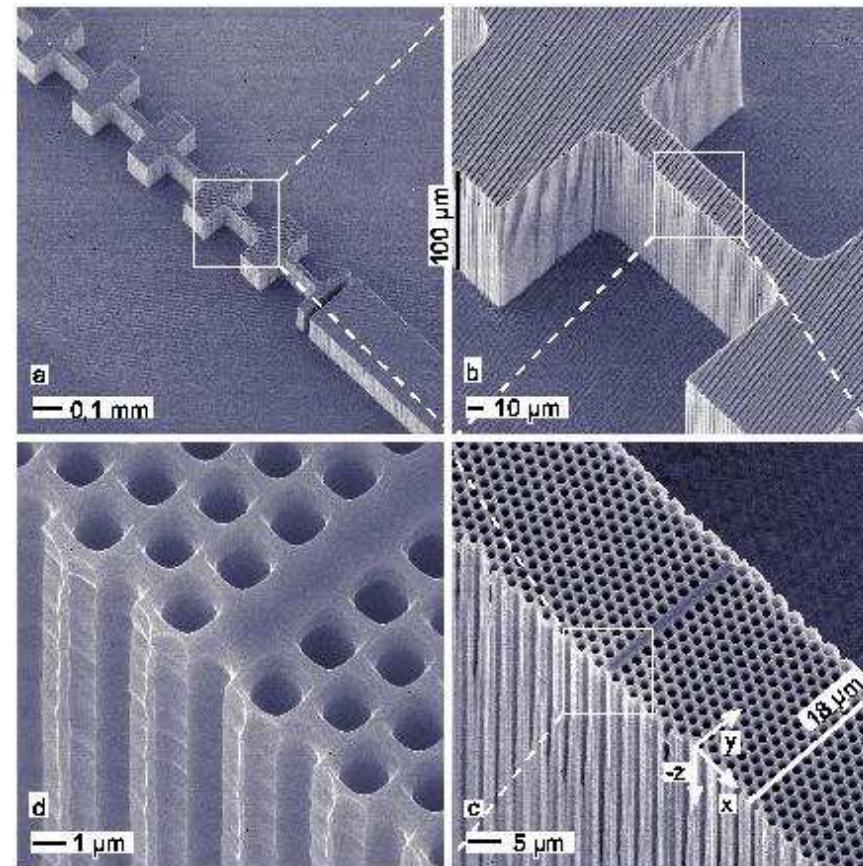
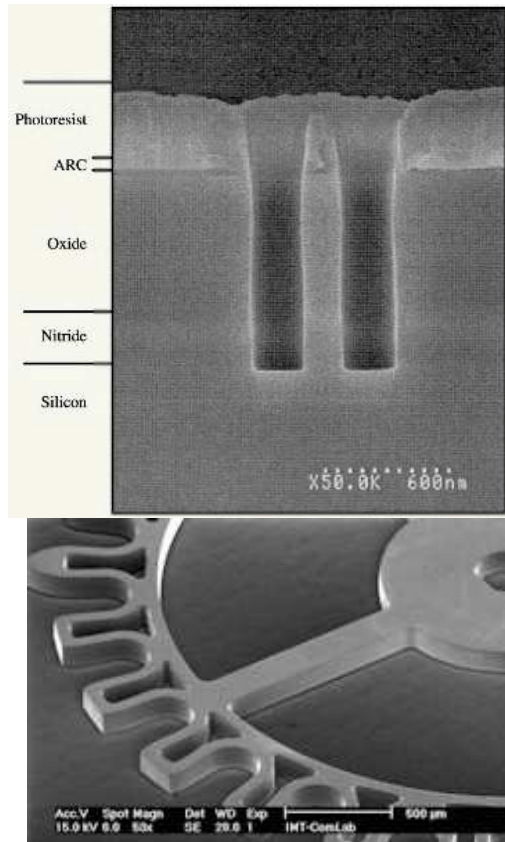


Prozesstechnologie für Halbleitermaterialien

Plasmaätzen mit hohem Aspektverhältnis “Photonische” Kristalle

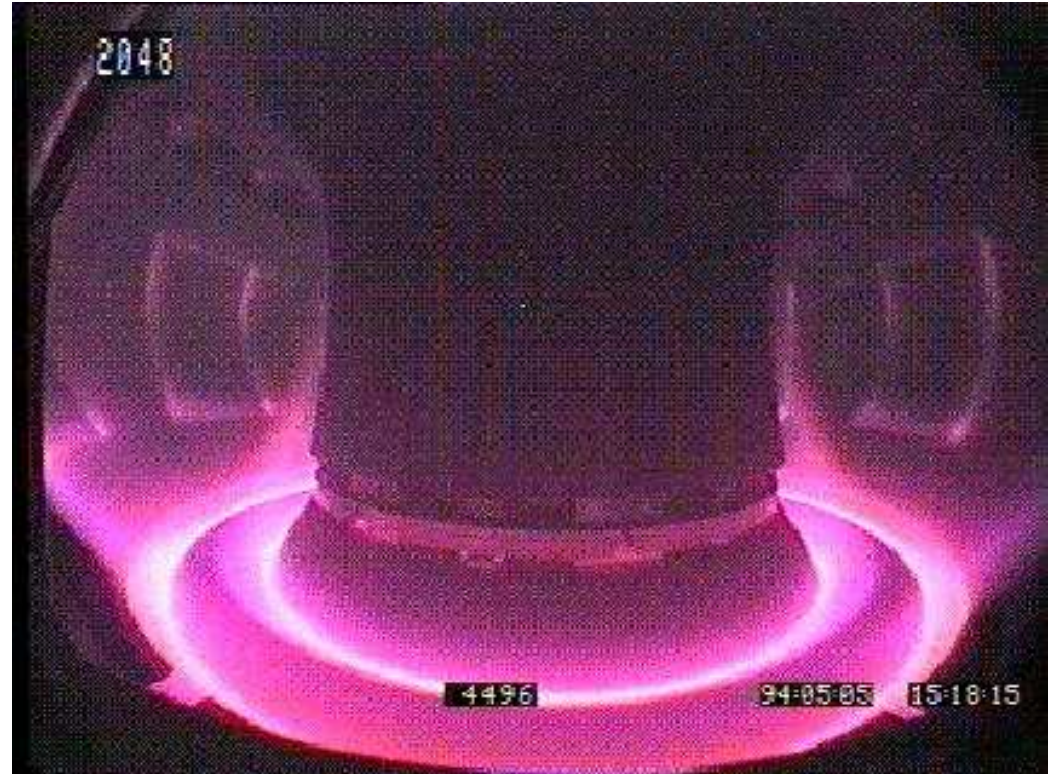
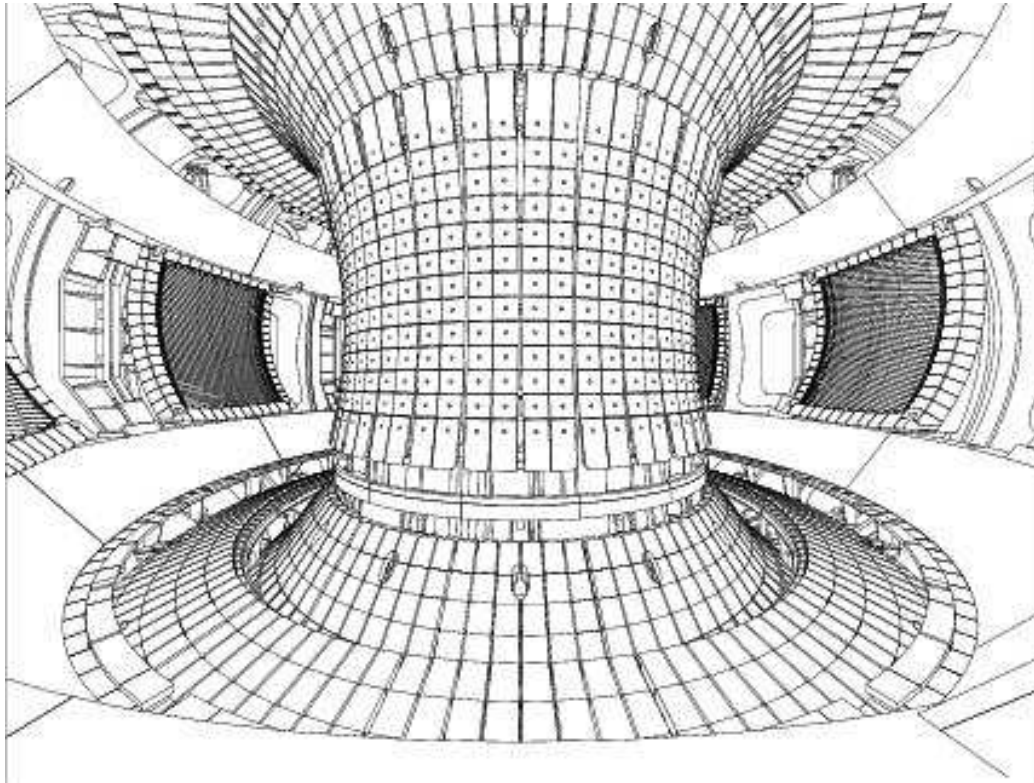
Quelle: IBM

<http://photonics.tfp.uni-karlsruhe.de>



Fusionsplasma

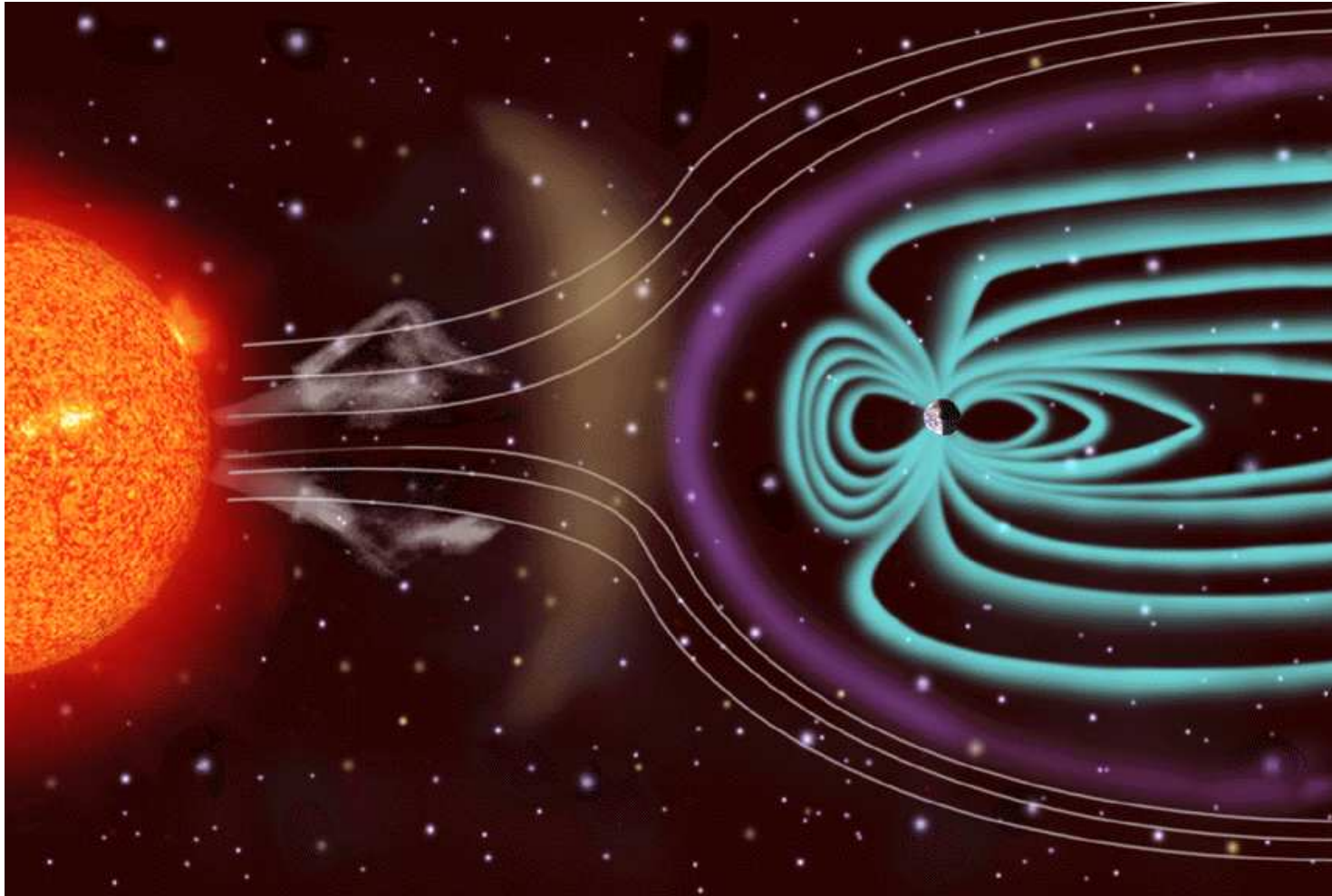
ASDEX Upgrade, Garching.



Rechte Seite: D_α (Balmer $n = 3 \rightarrow 2$) transition ($\lambda = 656 \text{ nm}$)

Quelle: Max-Planck-Institut für Plasmaphysik, Garching

Sonnenkorona, Sonnenwind, Erd-Magnetosphäre

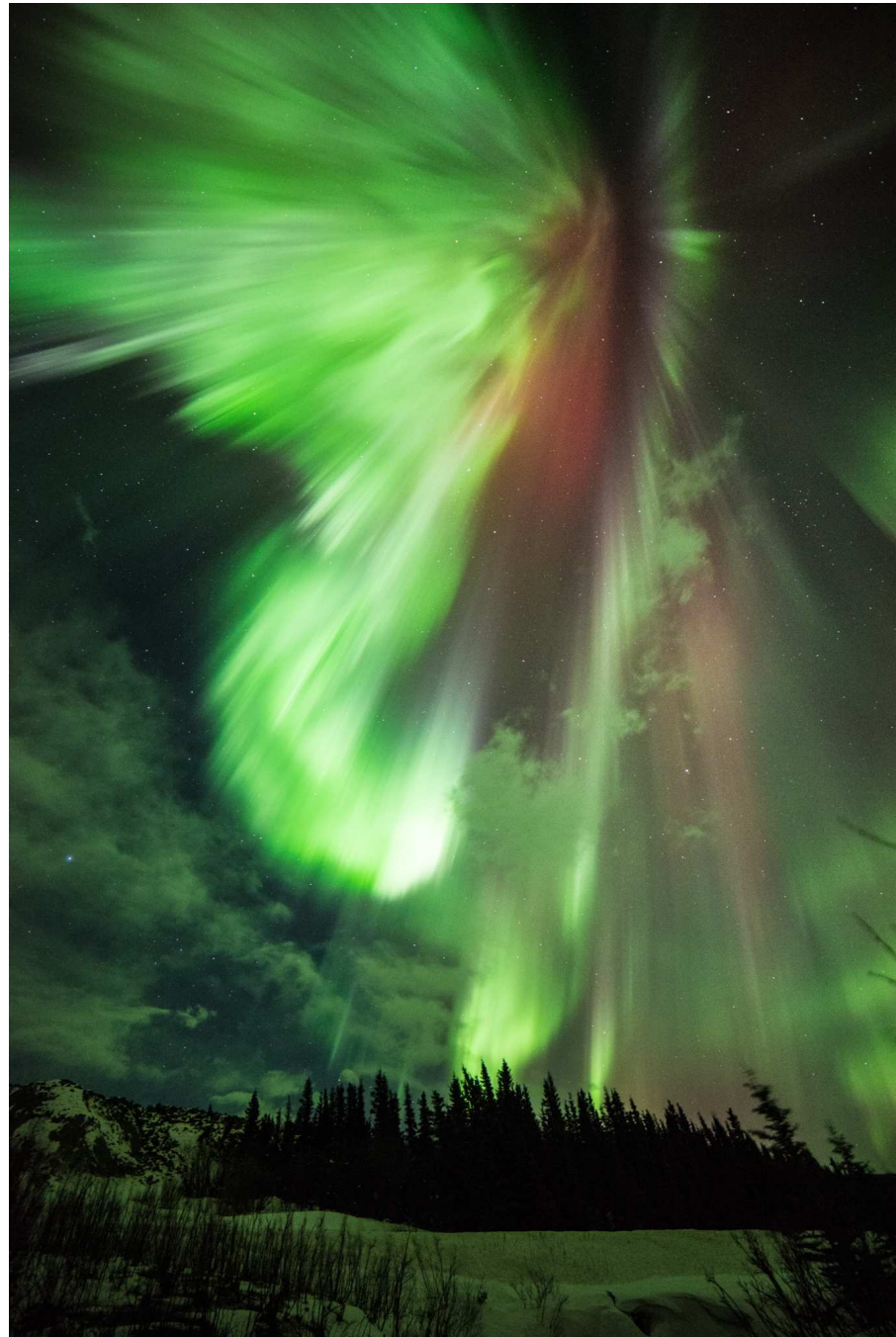


Quellen:

SOHO, <http://sohowww.nascom.nasa.gov>

Max-Planck-Institut für Sonnensystemforschung, <http://www2.mps.mpg.de>

Polarlicht (*Aurora borealis*)



Anregung von neutralen Atomen durch Stöße mit Elektronen aus der Magnetosphäre.

Linienstrahlung:

O : 557.7 nm (grün, 100-200 km), 630.0 nm (rot)

N_2 : 391.4, 427.0, 470.0 nm

IR (O_2) und UV (N_2 , O)

Nordlicht am Donnely Creek, Alaska; 17.03.2015 (S. Saarloss),

Quelle: NASA Goddard Space Flight Centre

Typische Plasmaparameter

	Längenskala (m)	Teilchendichte (m^{-3})	Elektronen- temperatur (eV)	Magnetfeld (Flussdichte) (T)
Gasentladungen	10^{-2}	10^{18}	2	-
Prozessplasmen	10^{-1}	10^{18}	10^2	10^{-1}
Fusionsexperiment	1	$10^{19} \dots 10^{20}$	$10^3 \dots 10^4$	5
Fusionsreaktor	2	10^{20}	10^4	5
Ionosphäre	10^5	10^{11}	10^{-1}	3×10^{-5}
Van Allen-Gürtel	10^6	10^9	10^2	10^{-6}
Sonnenkorona	10^8	10^{13}	10^2	10^{-9}
Sonnenwind	10^{10}	10^7	10	10^{-8}
Interstellares Gas	10^{16}	10^6	1	10^{-10}

Programm der Vorlesung

Plasmen

- Niedertemperatur-Plasmen
("Technische" Plasmen)
- Astrophysikalische Plasmen
- Hochtemperatur-Plasmen im Labor
Kernfusion - speziell auch nächste Vorlesung

Plasma-Beschreibung

- Einzelteilchen
im vorgegebenen Feld
- Vielteilchen-System
→ Kinetische Verteilung
- Beschreibung als Flüssigkeit(en)
"Magnetohydrodynamik"

Plasma-Phänomene

- Elektromagnetische Wechselwirkung,
Ladungsneutralität
- Ionisation, Rekombination,
"elektrischer Durchbruch"
- Anregung, Strahlung, Stoßprozesse
- Teilchen-Bahnen, -Driften
- Plasma-Randschicht
- Schwingungen und Wellen
- Instabilität, Turbulenz
- Teilchen-, Wärme-Transport
- ...

Literaturempfehlung

U Stroth

Plasmaphysik

Vieweg & Teubner, ISBN 978-3-8348-1615-3

M Kaufmann

Plasmaphysik und Fusionsforschung

2. überarbeitete Auflage

Teubner, ISBN 3-658-03238-3

F F Chen

Introduction to Plasma Physics
and controlled fusion

Cambridge University Press, ISBN 0-306-41332-9

D A Gurnett, A Bhattacharjee

Introduction to Plasma Physics

Plenum Press, ISBN 0-521-36483-3

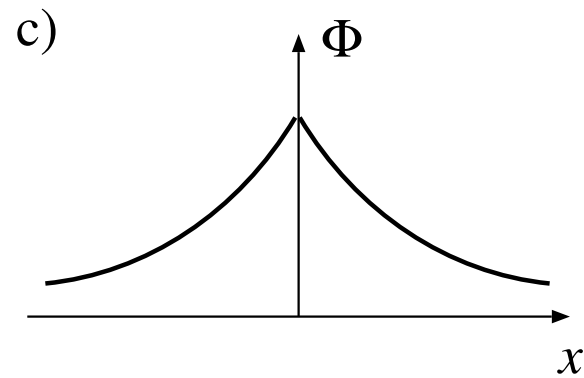
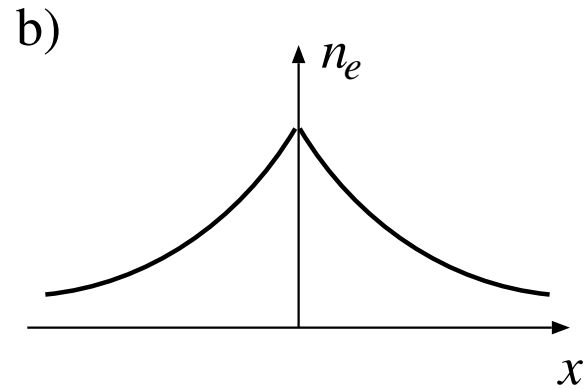
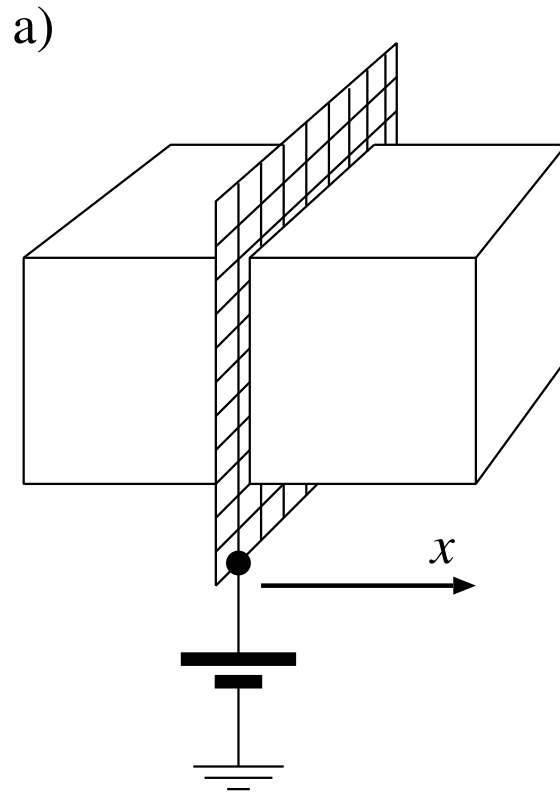
Grundlegende Plasmaparameter

Was kennzeichnet ein Plasma?

1. Quasineutralität - Ladungsabschirmung
2. Kollektives Verhalten der Teilchen
3. Zustandsgrenzen (elektrostatische vs. thermische vs. Fermi-Energie)

1. Ladungsabschirmung

Bewegliche Ladungen (Elektronen) schirmen Potenzialstörungen ab.



Betrachte ebene Potenzialstörung \rightarrow eindimensionales Problem

Berechne Potenzial mit der Poisson-Gleichung

Φ : elektrisches Potenzial

q : Ladungsdichte

n_e : Elektronendichte

n_i : Ionendichte

Z_i Ionenladungszahl

$$\epsilon_0 \nabla^2 \Phi = \epsilon_0 \frac{d^2 \Phi}{dx^2} = -q(x) = -e (Z_i n_i(x) - n_e(x))$$

Randbedingung für $x \rightarrow \infty$:

Plasma ist neutral

$$Z_i n_i(\infty) = n_e(\infty) \equiv n_\infty$$

Allerdings hängt n_e von Φ ab

→ Differenzialgleichung.

Ann.: Elektronen nicht entartet

⇒ Fermi-Verteilung wird durch Boltzmann-Verteilung angenähert:

$$f_e(v, x) \propto \exp \left[- \left(\frac{1}{2} m_e v^2 - e\Phi \right) / k_B T_e \right]$$

Integration über die Geschwindigkeit v :
“Boltzmann-Relation”

$$n_e = n_\infty \exp(e\Phi / k_B T_e).$$

Lösung: Räumlich exponentiell abfallendes Potenzial

Betrachte hinreichend hohe Frequenz: Ruhende Ionen.

1-D Poisson-Gleichung mit $n_i = \text{const.}$ und Boltzmann-Relation

$$\epsilon_0 \frac{d^2 \Phi}{dx^2} = en_\infty \left(\exp \left[\frac{e\Phi}{k_B T_e} \right] - 1 \right) \approx \frac{e^2 n_\infty}{k_B T_e} \Phi$$

(Erste Ordnung in der rechten Seite, $e\Phi/k_B T_e \ll 1$)

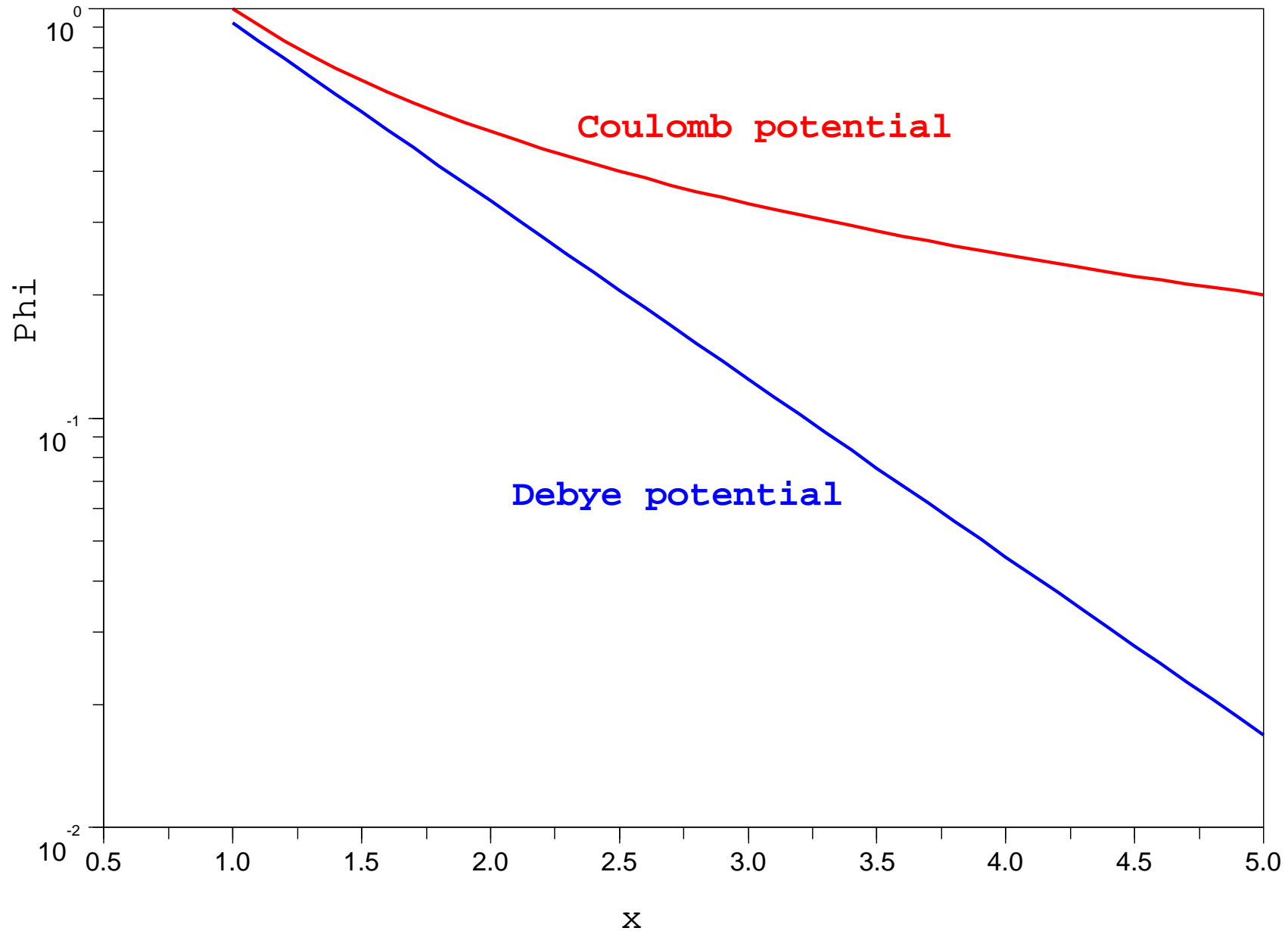
Ansatz: $\Phi = \phi_0 \exp(-|x|/\lambda_D)$

Debye-Länge:

$$\lambda_D = \left(\frac{\epsilon_0 k_B T_e}{e^2 n_e} \right)^{1/2}$$

Räumliche Skala für Neutralität!

Abgeschirmtes Potenzial



Der “Plasmaparameter”

Zahl der Teilchen in der “Debye-Kugel” (Kugel mit dem Radius λ_D):

$$N_D = n \left(\frac{4}{3} \pi \lambda_D^3 \right) = \left(\frac{\epsilon_0}{e^2} \right)^{3/2} \frac{(k_B T_e)^{3/2}}{n^{1/2}}$$

Abschirmung von Ladungsstörungen nur für $N_D \gg 1$!

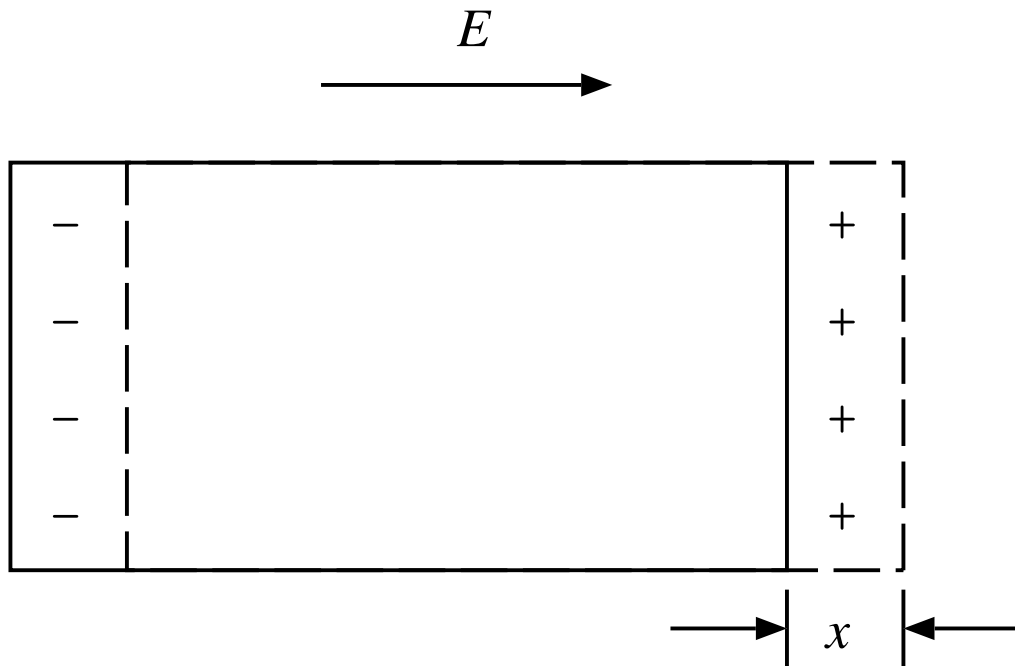
Plasmaschwingungen

- Die Relativbewegung zwischen Elektronen und Ionen baut ein elektrisches Feld auf.
- Die Trägheit der Elektronen führt zu Schwingungen

Vereinfachtes Modell:

Kasten, Querschnittsfläche A

Elektronen-Auslenkung x



Verschobene Ladung: $Q = en_eAx$

Elektrische Feldstärke E (analog Plattenkondensator)

$$E = \frac{Q}{A\epsilon_0} = \frac{en_ex}{\epsilon_0}$$

$$m_e\ddot{x} = -eE = -\frac{e^2n_ex}{\epsilon_0}$$

Ansatz $x(t) = x_0 \exp(i\omega_p t)$

“Plasmafrequenz”:

$$\omega_p^2 = \frac{e^2n_e}{m_e\epsilon_0}$$

Zeitskala für Neutralität!

Schlussfolgerungen

Quasi-Neutralität

Für lange Skalen

$$\lambda \gg \lambda_D = \left(\frac{\epsilon_0 k_B T_e}{e^2 n_e} \right)^{1/2}$$

und langsame Vorgänge

$$\omega \ll \omega_p = \left(\frac{e^2 n_e}{m_e \epsilon_0} \right)^{1/2}$$

ist ein Plasma “quasi” neutral.

Plasma-Näherung

“Das Plasma ist quasi-neutral, obwohl $\Phi \neq const.$ ”

Beispiel:

Um eine (große) elektrische Feldstärke von $E = 50 \text{ kV/m}$ auf $\Delta x = 1 \text{ cm}$ zu erzeugen, genügt eine Ladungsdichte von

$$\Delta n \times e \sim \epsilon_0 \frac{E}{\Delta x} \approx 10^{14} \text{ m}^{-3} \times e$$

also 0.001 ... 1% einer Plasmadichte von $10^{19} \dots 10^{16} \text{ m}^{-3}$

Auf grossen Skalen ($x \gg \lambda_D$, $\omega \ll \omega_p$) kann das elektrische Potential nicht mit Hilfe der Poisson-Gleichung bestimmt werden.

2. Kollektives Verhalten

(a) Grosse Zahl von Teilchen im Plasma:

$$N = n_e L^3 \gg 1$$

(Ansonsten Vielteilchenproblem statt kontinuierlicher Grössen)

(b) Abschirmung wird durch kontinuierlichen Potenzialverlauf (mit Debye-Länge als Skala) nur beschrieben, wenn

$$N_D \gg 1$$

(kritisch bei sehr kleinen Temperaturen)

Plasmaparameter (revisited)

	L (m)	n_e (m ⁻³)	T_e (eV)	N	λ_D (m)	N_D	$\omega_p/2\pi$ (Hz)
Gasentladungen	10 ⁻²	10 ¹⁸	2	1 × 10 ¹²	11 × 10 ⁻⁶	4.9 × 10 ³	8.9 × 10 ⁹
Prozessplasmen	10 ⁻¹	10 ¹⁸	10 ²	1 × 10 ¹⁵	74 × 10 ⁻⁶	1.7 × 10 ⁶	8.9 × 10 ⁹
Fusionsexperiment	1	10 ¹⁹	10 ⁴	1 × 10 ¹⁹	0.23 × 10 ⁻³	5.4 × 10 ⁸	28 × 10 ⁹
Fusionsreaktor	2	10 ²⁰	10 ⁴	8 × 10 ²⁰	74 × 10 ⁻⁶	1.7 × 10 ⁸	89 × 10 ⁹
Ionosphäre	10 ⁵	10 ¹¹	10 ⁻¹	1 × 10 ²⁶	7 × 10 ⁻³	1.7 × 10 ⁵	2.8 × 10 ⁶
Van Allen-Gürtel	10 ⁶	10 ⁹	10 ²	1 × 10 ²⁷	2.4	5.4 × 10 ¹⁰	280 × 10 ³
Sonnenkorona	10 ⁸	10 ¹³	10 ²	1 × 10 ³⁷	0.02	5.4 × 10 ⁸	28 × 10 ⁶
Sonnenwind	10 ¹⁰	10 ⁷	10	1 × 10 ³⁷	7.4	1.7 × 10 ¹⁰	28 × 10 ³
Interstellares Gas	10 ¹⁶	10 ⁶	1	1 × 10 ⁵⁴	7.4	1.7 × 10 ⁹	8.9 × 10 ³

3. Zustandsgrenzen

1. Nicht-ideale Plasmen (elektrostatische $>$ thermische Energie)
2. Entartete Plasmen (Fermienergie $>$ thermische Energie)
3. Relativistische Plasmen (thermische Energie nahe m_0c^2)

Zustandsgrenzen hängen von der Temperatur und z.T. von der Dichte ab.

3.1. Nicht-ideale Plasmen

Elektrostatische Wechselwirkung dominiert
kollektives Verhalten, wenn

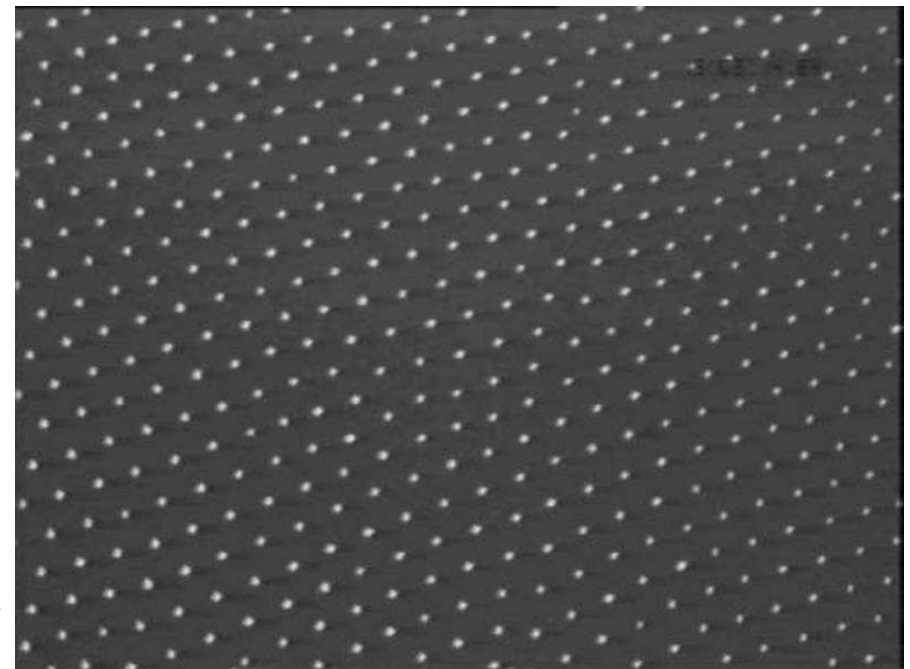
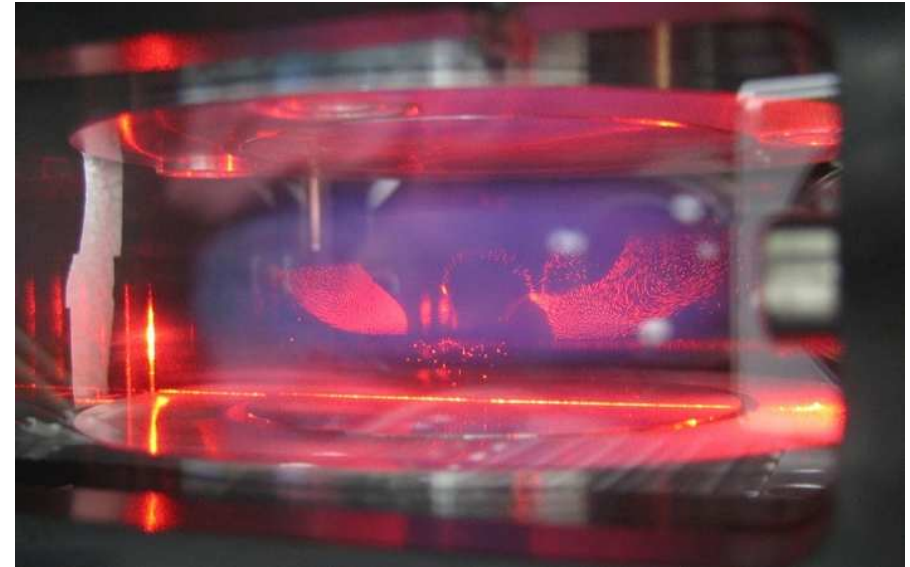
$$\frac{e^2}{4\pi\epsilon_0} \bar{d}^{-1} > \frac{3}{2} k_B T$$

Mittlerer Abstand $\bar{d} = n^{-1/3}$

Kritische Temperatur T_{stat} als Funktion der
Plasmadichte:

$$\frac{3}{2} k_B T_{stat} = \frac{e^2}{4\pi\epsilon_0} n^{1/3}$$

Plasma-“Kristall”



Quelle: www.mpe.mpg.de

Max-Planck-Institut für Extraterrestrische Physik, Garching

3.2. Entartete Plasmen

Elektronen sind “Fermionen”.

Fermi-Dirac Besetzungstatistik

für Energieniveau E :

$$f(E, T) = \frac{1}{1 + \exp \frac{E - E_f}{k_B T}}$$

Fermi-Energie im Vakuum (Herleitung s. Anhang):

$$E_f = \frac{\hbar}{2m_e} (3\pi^2 n_e)^{2/3}$$

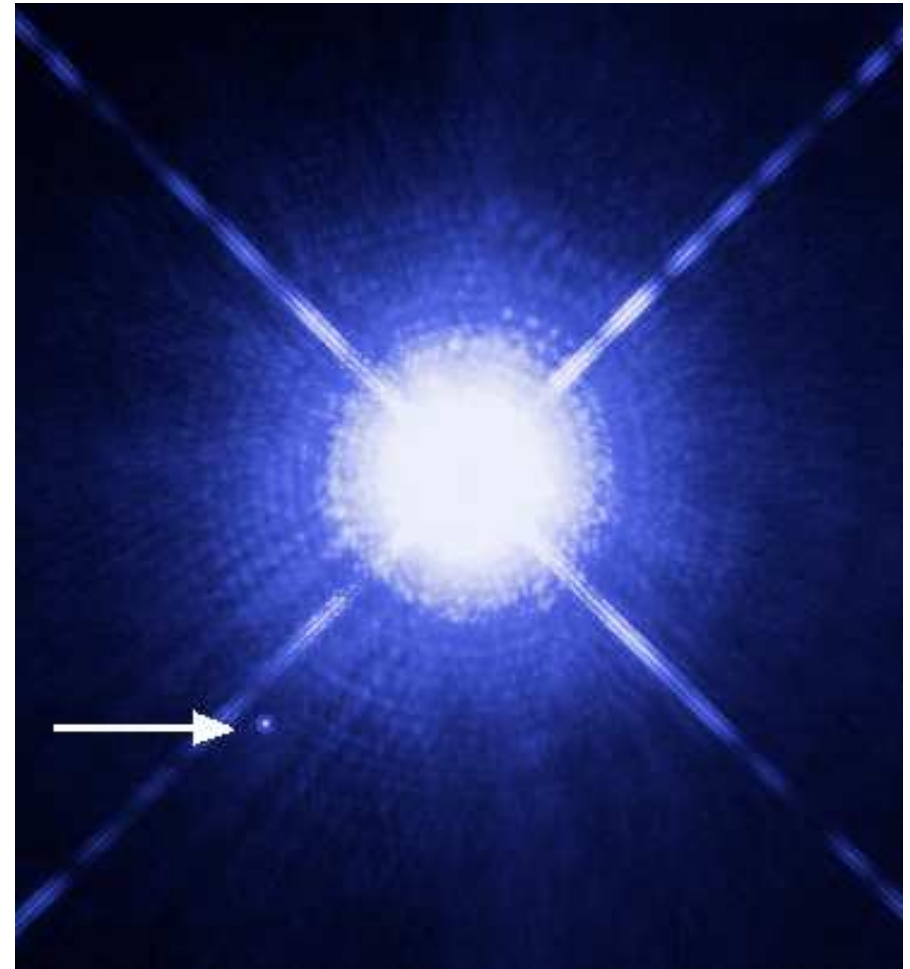
Anschaulich: Besetzungsgrenze bei $T = 0$.

“Entartetes” Plasma:

$$E_f > \frac{3}{2} k_B T_e$$

Weißer Zwerg (Elektronen-entartet)

Sirius B (Pfeil) neben Sirius A



Quelle: Wikipedia

3.3. Relativistische Plasmen

Relativistische Effekte (Elektronen) wichtig, wenn

$$\frac{3}{2}k_B T > m_{0,e}c^2$$

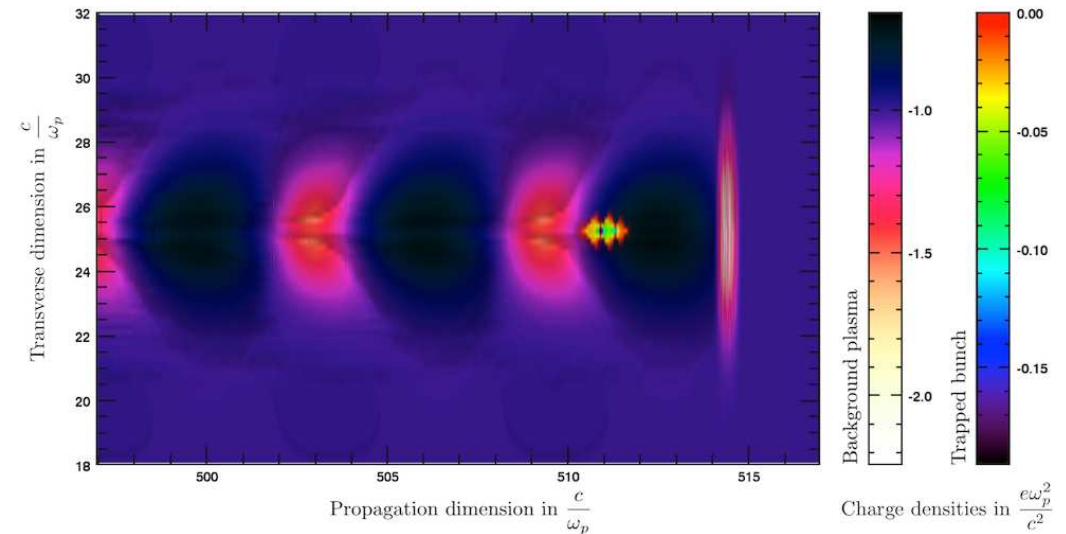
(Falls gleichzeitig entartet, liegt die Fermi-Besetzungsgrenze auch bei kleinen Temperaturen bei relativistischen Energien \rightarrow Weisse Zwerge).

Konsequenzen:

- relativistische Kinetik
- modifizierte Wirkungsquerschnitte für Stoßprozesse
- evtl. *Paarerzeugung*

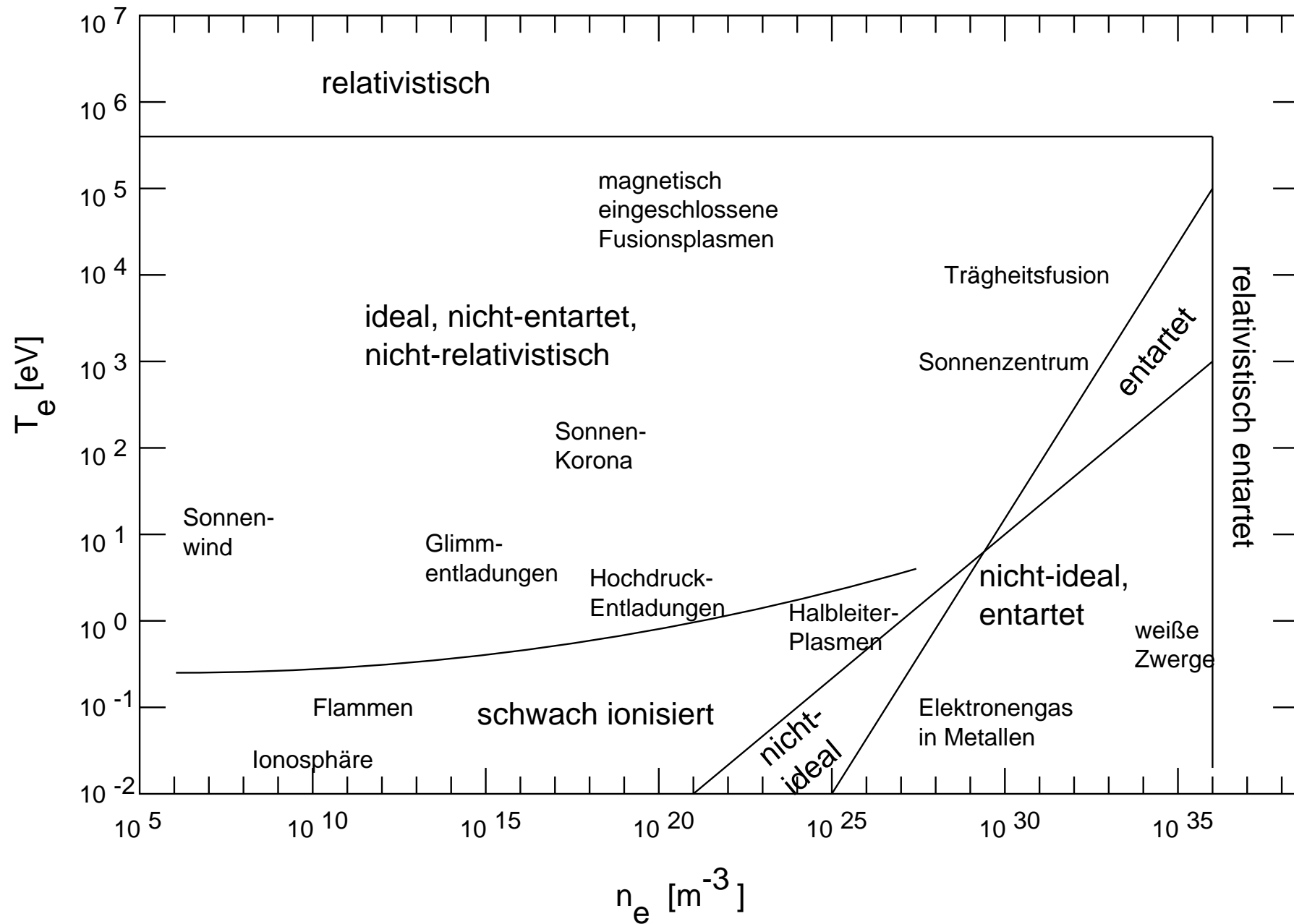
Kielfeld-Beschleuniger (*wakefield accelerator*)

nicht-thermisch relativistisch



Quelle: `plasma.desy.de`

Übersicht Zustandsgrenzen



Zusammenfassung

- $> 99\%$ der sichtbaren Materie sind “Plasma” = ionisiertes Gas.
- Elektrische und magnetische Felder beeinflussen ein Plasma (und umgekehrt).
- Für Skalen $\lambda \gg \lambda_D$ und $\omega \ll \omega_p$ ist das Plasma quasi-neutral.
- Die Plasmabeschreibung durch kontinuierliche Größen (n, T) . setzt kollektives Verhalten voraus: $N, N_D \gg 1$.
- Viele Plasmen sind ideal, nicht entartet und nicht-relativistisch, und diese sind Gegenstand der Vorlesung.

Anhang: Berechnung der Fermienergie im Vakuum

Schrödergleichung für ein freies Teilchen im Vakuum:

$$H\Psi = \frac{\hbar^2}{2m} (k_x^2 + k_y^2 + k_z^2) = E\Psi$$

$E = E_F$: Kugeloberfläche im k -Raum (“Fermikugel”).

Radius $k_F = (2E_F m)^{1/2} / \hbar$.

Würfel mit Kantenlänge L , periodische Randbedingungen: Lösungen der SGL sind ebene Wellen mit diskreten Wellenvektoren

$$k_{x,y,z} = \frac{2\pi n_{x,y,z}}{L}$$

Im k -Raum nimmt ein Zustand also das Volumen $(2\pi/L)^3$ ein.

Fermi-Energie im Vakuum (2)

$T = 0$, Zahl der besetzbaren Zustände bis zur Energie E : Volumen der Fermikugel, geteilt durch das Volumen pro Zustand, multipliziert mit dem Faktor 2 (für beide Spinrichtungen):

$$N(E) = 2 \frac{4\pi}{3} \frac{k(E)^3}{(2\pi/L)^3} = 2 \frac{4\pi}{3} \left(\frac{2m}{\hbar} E \right)^{3/2} \left(\frac{L}{2\pi} \right)^3$$

Mit $n_e = N/V = N/L^3$ und $E = E_F$:

$$E_f = \frac{\hbar}{2m_e} (3\pi^2 n_e)^{2/3}$$